

بررسی تجربی سرعت حد بالستیک بتن هوادار اتوکلاو شده تحت نفوذ پرتابه

عمار بیات^۱, غلامحسین لیاقت^۲, هادی صبوری^۳, شیرعلی فارسوانی محمدی^۴, احسان پدرام^۵

و ۲۰۴۵-دانشگاه تربیت مدرس، دانشکده مکانیک، تهران

۳-دانشگاه خوارزمی، دانشکده فنی و مهندسی، تهران

Parin Beton
پرن بن

چکیده

در این مقاله به صورت تجربی سرعت حد بالستیک بتن هوادار اتوکلاو (AAC)، بدست آمد. ابتدا نمونه‌ها در ابعاد $125 \times 50 \times 115$ میلی‌متر آماده شد و در دستگاه تست شلیک تحت نفوذ پرتابه سرتخت با سرعت‌های متفاوت قرار گرفتند. تعداد ۸ آزمایش برای ثبت سرعت ورودی و خروجی انجام گرفت. سپس از معادله ریچ و ایپسون (Richt & Ipson) در نرم افزار متلب برای برازش کردن منحنی نتایج تجربی برای بدست آوردن سرعت حد بالستیک استفاده شد. سرعت حد بالستیک بدست آمده تطابق خوبی با معادلات ریچ و ایپسون دارد. علاوه بر این سرعت حد بالستیک با سرعت حد بالستیک تعریف شده نیروی دزیایی مقایسه شد.

واژه‌های کلیدی: بتن سبک، سرعت حد بالستیک، نفوذ، پرتابه سرتخت.

مقدمه

نفوذ در اهداف بتنی شامل پروسه‌های پیچیده‌ای است که در دهه‌های اخیر به طور گسترده مورد توجه قرار گرفته است، بررسی و تحلیل نفوذ پرتابه در هدف‌های بتنی یکی از مهمترین مسائل امروزی است. محققین از روش‌های متفاوتی به تحلیل پروسه نفوذ پرتابه‌اند [۱]. علاوه بر کاربردهای نظامی، بتن به طور گسترده در ساختمان‌ها، پل‌ها و... مورد استفاده قرار می‌گیرد، با اینکه بین معمولی برای دفع اثرات ضربه استفاده می‌شود ولی توانایی جذب کامل ضربه را ندارد، علاوه بر این از نظر اقتصادی مفروض به صرفه نیست بنابراین نیاز به بتن سبک هست چون که هم از نظر جذب انرژی و هم از نظر اقتصادی نیست به بتن معمولی مفروض به صرفت از [۲]. مهمترین مشخصه بتن هوادار تخلخل آن است که نتیجه آن چگالی بسیار پایین و استحکام فشاری پایین آن نسبت به بتن معمولی است. بر اساس استاندارد ASTM C-1693 می‌شود [۳].

براساس جگالی بین 400 تا 800 kg/m^3 (MPa) و استحکام فشاری 2 تا 6 در این مقاله به صورت تجربی و با استفاده از معادله ریچ و ایپسون و استفاده از برازش منحنی توسط نرم افزار متلب و فیکس کردن داده‌ها با منحنی و معادله ریچ و ایپسون به بررسی سرعت حد بالستیک تحدیف شده AAC نفوذ پرتابه تحت پرداخته شد.

پس از انجام آزمایش و ثبت سرعت ورودی v_i و سرعت خروجی v_r ، سرعت حد بالستیک v_{bl} با استفاده از معادله ریچ و ایپسون در نرم افزار متلب طبق رابطه (۱) محاسبه شد [۵].

$$v_{bl} = a(v_i^p - v_{bl}^p)^{\frac{1}{p}} \quad (1)$$

و a و p روابط ثابت تجربی هستند. رابطه ریچ و ایپسون یک رابطه تحلیلی بر اساس بقاع انرژی و مومنتوم است که می‌تواند سرعت‌های باقیمانده ثبت شده از آزمایش‌ها را برازش کند و تخمینی از سرعت حد بالستیک را ارائه دهد. این تکنیک زمانی مفید خواهد بود که اطلاعات موجود شامل سرعت حد بالستیک نباشد. توجه شود که رابطه تحلیلی مدل ریچ و ایپسون با رابطه (۲) زمانی مورد قبول است که تغییر شکل پرتابه در پروسه نفوذ قابل اغمض است [۶]، که در مسئله مورد نظر به دلیل اینکه پرتابه از جنس فولاد سخت‌کاری شده است و همچنین هدف از جنس ترد می‌باشد، صدق می‌کند.

$$a = \frac{m_p}{(m_p + m_{pl})}, p = 2 \quad (2)$$

از طرفی با استفاده از رابطه (۳) نیز می‌توان سرعت حد بالستیک را بدست آورد که نتایج آن در جدول ۳ و در بخش انجام آزمایش برای مقایسه با فرمول (۱) آورده شده است.

$$v_{bl} = (v_i^2 - v_r^2)^{\frac{1}{2}} \quad (3)$$

انجام آزمایش

تعداد ۸ آزمایش شلیک توسط دستگاه تست شلیک آزمایشگاه ضربه واقع در دانشگاه تربیت مدرس انجام شد که ۲ آزمایش به دلیل ثبت نکردن سرعت خروجی مورد قبول واقع نشد. گلوله مورد استفاده از نوع سرتخت با جنس فولاد انتخاب شد (جدول ۱). محدوده سرعت گلوله بین 126 تا 174 متر بر ثانیه با توجه به فشار مخزن دستگاه تست انتخاب شد. جدول ۱ نشان‌دهنده تعداد آزمایش‌ها و نتایج است (جدول ۲).

جدول ۱- مشخصات هندسی پرتابه سرتخت

بعاد دیگر (mm)	وزن پرتابه (gr)	قطر پرتابه (mm)	شكل دماغه پرتابه
----------------	-----------------	-----------------	------------------



۱- دانشجوی دکتری، amar.bayat@modares.ac.ir، +۹۸۹۱۰۷۶۰۹۴۶۵ (نویسنده مخاطب)

۲- استاد

۳- استادیار

۴- دانشجوی کارشناسی ارشد

۵- کارشناس ارشد، محقق

همانطور که در بخش انجام آزمایش گفته شد سرعت بدست آمده از رابطه ریج و ایپسون (129 m/s) با تقریب خیلی خوب با سرعت تحریی بدست آمده از تعریف حد بالستیک نیروی دریایی (126 m/s) مطابقت دارد. مقدار مناسب کمترین مربعات ($R^2 = 0.95$) نیز نشان می دهد همبستگی اعداد مناسب بوده و سرعت حد بالستیک بدست آمده در نمودار قابل اعتماد است. با توجه به سرعت های بدست آمده می توان نتیجه گرفت که AAC نسبت به وزن خود قابلیت جذب انرژی مناسبی را دارد.

با استفاده از معادله (۲) نتیجه می شود که افزایش سرعت در نتیجه افزایش انرژی نرخ کرنش، در اندازه سرعت حد بالستیک تاثیر بسزایی دارد و به همین دلیل بر سرعت های بالا باید ختماً این انرژی باید لحاظ گردد.

نتیجه گیری
در این مقاله سرعت حد بالستیک به صورت تجربی و با استفاده از معادله ریج و ایپسون برای نفوذ گلوله سرتخت در اهداف بتی سبک هوادار اتوکلاو شده بدست آمد که مهمترین نتایج را می توان به صورت زیر بیان کرد.

- سرعت حد بالستیک بدست آمده از معادله ریج و ایپسون و مقایسه آن با نتایج تجربی نشان می دهد با استفاده از معادله مذکور می توان با تقریب خوبی سرعت حد بالستیک را برای انواع پرتابه ها پیش بینی کرد.

- این تحقیق پتانسیل کاربرد AAC در جذب انرژی و سرعت حد بالستیک را به عنوان مواد غیرسازه ای نشان داد. با بهمود خواص استحکام AAC ممکن است بتوان این ماده را به عنوان سازه های سبک در مصارف نظامی به منظور سازه های مقاوم در برابر ضربه و بارهای انفجاری استفاده کرد.

تشکر و قدردانی

از مدیر عامل محترم کارخانه پرین بن آمود جناب آقای مهندس احمدی به خاطر در اختیار قرار دادن مواد اولیه کمال تشکر و قدردانی را داریم.

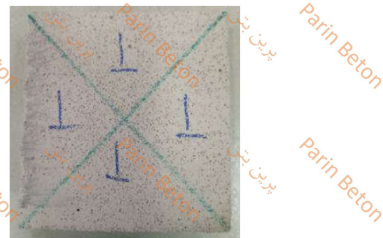
مراجع

- [1] Seifoori, S., and Liaghat, G. H., 2011. "A semianalytical and Numerical Study of Penetration and Perforation of an Ogive-Nose Projectile into Concrete Targets under Normal Impact". *J. Eng. Mech.* 225, pp. 1782-97.
- [2] Ahmad Zaidi, A. M., and Li, Q. M., 2009. "Investigation on penetration resistance of foamed concrete". *Proceeding of the institution of civil Engineers*, 162(1), pp. 77-85.
- [3] Bonakdar, A., Babbitt, F., and Mobasher, B., 2013. "Physical and mechanical characterization of Fiber-Reinforced Aerated Concrete (FRAC)". *Cement & Concrete Composites*, 38, pp. 82-91.
- [4] Laible, R., 1982. "Ballistic Materials and Penetration Mechanics". *The American Journal of Forensic Medicine and Pathology*. 1982; 3:190.
- [5] Børvik, T., Forrestal, M.J., Hopperstad, O.S., Warren, T.L., and Langseth, M., 2009. "Perforation of AA5083-H116 aluminium plates with conical-nose steel projectiles-calculations". *Int. J. Impact Eng.* 36, pp, 426-37.
- [6] Wei, G., and Zhang, W., 2014. 'Perforation of thin aluminum alloy plates by blunt projectiles: An experimental and numerical investigation'. *Journal of Physics: Conference Series* 500, 112065.

جدول ۲- سرعت ورودی و خروجی نفوذ پرتابه (متر بر ثانیه)

شماره آزمایش	سرعت ورودی	سرعت خروجی
۱	۱۷۴	۸۸
۲	۱۶۸	-
۳	۱۵۵	-
۴	۱۴۸	-
۵	۱۴۱	-
۶	۱۴۴	-
۷	۱۴۳	-
۸	۱۲۰	-

هدف مورد استفاده به صورت مکعب مستطیل و در بعد میلیمتر از نمونه های اولیه برش داده شد (شکل ۱).



شکل ۱- هدف بتی سبک هوادار اتوکلاو شده

جدول ۳- سرعت حد بالستیک با استفاده از رابطه ۳

شماره آزمایش	سرعت حد بالستیک
۱	۱۵۰
۲	۱۴۸
۳	۱۴۴
۴	۱۴۱
۵	۱۲۶
۶	-
۷	-

آزمایش شماره ۷ نتیجه سرعت خروجی صفر را داد که طبق تعریف حد بالستیک نیروی دریایی، این سرعت را می توان سرعت حد بالستیک در نظر گرفت [۴]. از این آزمایش برای صحبت سنجی در قسمت ارائه نتایج استفاده شده است.

نتایج و بحث

سرعت حد بالستیک با استفاده از نتایج تجربی و فیکس کردن نمودار به دست آمد (شکل ۲).



شکل ۲- منحنی سرعت ورودی بر حسب سرعت خروجی با استفاده از مدل ریج و ایپسون و فیکس کردن اطلاعات تجربی

در شکل ۲ با استفاده از رابطه (۱) و نتایج تجربی و پیش از متناسب کردن رابطه با نتایج، ضرایب رابطه (۱) به صورت جدول ۴ بدست آمد.

جدول ۴- ضرایب رابطه ریج و ایپسون

v_{bl} (m/s)	p	a	b
۱۲۹	۲.۱۲	۰	۶